# UMA AVALIAÇÃO PRELIMINAR LIMNOLÓGICA NO RESERVATORIO DO TAPACURÃ (DEZEMBRO DE 1977 A FEVEREIRO DE 1978)

CLYDE ASBURY Univ. of Massachusetts ELAINE HARTMAN Pós-graduanda da Univ. of Massachusetts

CARMEN MEDEIROS Acad. do Curso de Eng. de Pesca da UFRPE EDUARDO MOTTA Acad. do Curso de Eng. de Pesca da UFRPE.

ELAINE DOS SANTOS Acad. do Curso de Ciências Biológicas da UFRPE. ROBERT COLER Univ. of Massachusetts

O principal fator que dita a qualidade da água em lagos, é a disponibilidade de oxigênio. Neste estudo preliminar básico da qualidade da água no lago Tapacurá, constatou-se a existência essencial de dois agentes que governam a distribuição do oxigênio dissolvido: o vento e a decomposição bacteriana. O vento injeta oxigênio no interior do epilimnion e nas camadas superiores do metalimnion. Em continuação, sobrevém a estratificação térmica, mantendo a profundidade e a produtividade secundária do epilimnion. A decomposição das baronesas, por outro lado, serve para produzir um ambiente hostil, totalmente anóxico, acompanhado de alterações químicas no hipolimnion. Dentro das perspectivas biológicas e de saúde pública, estes processos servem para produzir dois diferentes níveis de água, onde por sua superioridade em qualidade, aconselha-se a retirada da água para abastecimento do Recife, do nível superior ao do hipolimnion.

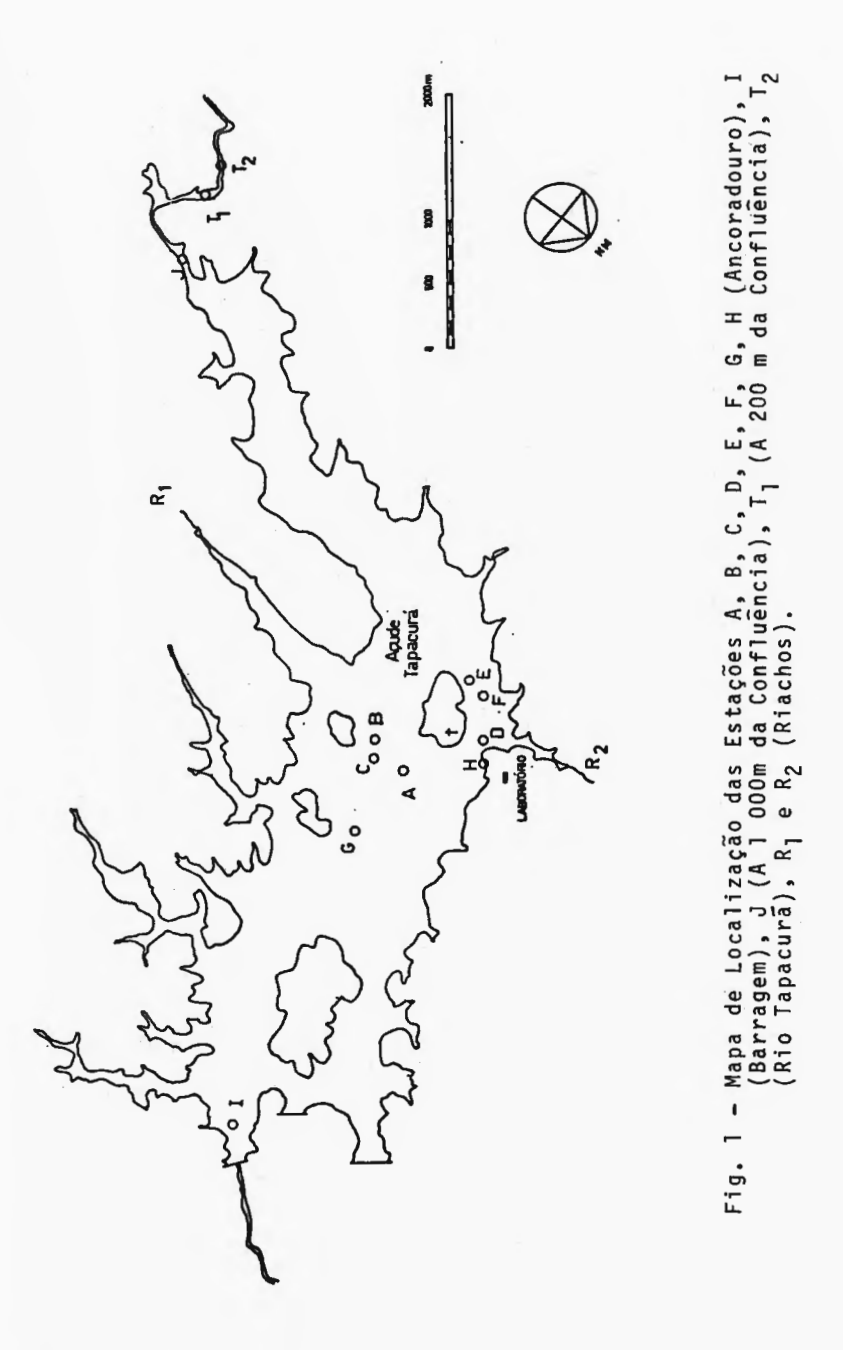
## INTRODUÇÃO

A avaliação limnológica relatada aqui anexa, foi empreendida para fornecer um ponto de referência no tempo, da qualidade da agua da bacia do Tapacura. Esta realização é a primeira de uma série de monografias na area de saude publica a nível de Pos-Graduação emanada da Estação Ecológica da Universidade Federal Rural de Pernambuco (UFRPE) em Tapacura. Este trabalho dara ênfase a uma perspectiva físico-química. Um estudo subsequente focalizara a produtividade primário-secundária e um inventário geral da distribuição e densidade da comunidade biótica, isto é, a resposta biológica a estímulos físico-químicos.

O acumulo dos dados da linha de base, neste caso encontra justificativa nesses dois lugares:

- a) O represamento do Tapacurã, originariamente concebido como uma estrutura para controle das inundações, estã destinado a servir Recife como principal fonte de agua potável este ano.Enquanto a necessidade de aumentar o suprimento não pode ser aqui debatida, a questão da qualidade da agua permanece predominante, porque a cidade de Vitória (população 90 000 hab.) lança uma variedade de detritos residenciais, industriais e agrícolas no seu principal afluente, o Rio Tapacurã;
- b) Sendo um reservatorio construido a dois anos,o lago comporta-se mais como um vale agricola inundado do que como um corpo d'agua amadurecido. Podemos antecipar, consequentemente, a sucessão de um tipo de biota aquatico pioneiro, a um maduro, estável e variado ecossistema. A oportunidade de traçar essas dinâmicas em um clima tropical, é unica. Embora um programa moni-

tor não substitua o controle de qualidade como uma medida de saude publica, esse processo indicara areas de stress em potencial, assim como de significado ecológico. Como e usual com tais realizações iniciais, a ênfase e colocada numa visão global para fornecer um aspecto, dentro do qual areas de preocupação em potencial estão identificadas, dando lugar para a realização de mais pesquisas.



### METODO

Cinco estações de amostra foram tentativamente selecionadas para observação (fig. 1): I (100 metros da represa), A (aproximadamente 200 metros da sede da estação), J (1 000 metros da desembocarura do Río Tapacurã)  $T_1$  (300 metros da desembocadura -a-põs baronezas),  $T_2$  (Rio Tapacurã - antes das baronezas). Suas respectivas profundidades são 19 metros, 13 metros, 5 metros, 1 metro e 0,2 metros. Em cada estação (exceto  $T_1$  e  $T_2$ ) foram coletadas amostras semanais a intervalos de 1 ou 2 metros. O regime de amostragem para estudos diurnos foi programado para acomodar uma vigorosa brisa que começava diariamente entre 8 h e 10 h, vinda de sudoeste, a 20-25 km/h (escala de Beaufort) e persistia de 10 h a 12 h. Devido sua proximidade da estação de campo, a estação "A" foi selecionada como o ponto de referência sobre o qual foram feitas extrapolações para todo o conjunto de estações. Essa projeção é uma conveniência advinda de fatores logísticos.

Alem do mais, uma fase exploratoria sugeriu que, devido a ausência de qualquer tributário persistente, ou sangra—douro industrial, senão o proprio rio, o reservatorio seria extremamente uniforme em composição e desempenho. As duas excessões são as correntes  $R_1$  e  $R_2$  que drenam as queimadas dos canaviais. Devido ao lento fluxo delas (0,6 e 0,7 l/seg. respectivamente) e consequentemente, um impacto mínimo na qualidade da agua do lago, elas não foram observadas com detalhe. A importância delas, entretanto, aumentara com a subsequente estação chuvosa. Consequentemente o regime de amostragem se intensificara.

Os parâmetros físico-químicos selecionados como îndices de qualidade da água são o oxigênio dissolvido (OD), cálcio (Ca), cloro (C1), total de sólidos em suspensão (t.s.s), ortofos—fatos ( $P_0$ ) "nitrogênio como amônia" (NH $_3$ ) condutividade (C) temperatura (T), alcalinidade (ALK), sulfeto (S) transparência do disco de Secchi e dureza (dur). É previsto que as análises subsequentes serão expandidas a incluir: pH, demanda bioquímica de oxigênio (DBO), acidez (AC), fórforo total ( $P_t$ ) nitratos (NO $_3$ ) e fluxo. To-

das as analises foram executadas de acordo com a metodologia esbo $\pm$ çada no Standard Methods for the examination of water and waste water (1976). As mediações de condutividade, temperatura e algumas de 0.D., foram feitas in-situ através de medidores.

#### RESULTADOS

A uniformidade singular do clima no periodo de amostragem de 10 semanas permitíu agrupar os dados para qualquer parâmetro, como uma unica população que variou significantemente, somente com o local da amostra (lugar e profundidade) e hora do dia. Os dados, portanto, foram preparados para cada estrato-estação como valores médios (X) com desvio padrão (S), erro padrão da média  $(S\overline{x})$ , tamanho da população (n) e 95% intervalos de confiança (IC), (tabelas 1 e 2, fig. 2). Eles estão munidos para documentar equantificar a manutenção continua da estratificação, mas não para gerir tendências paramétricas com o tempo. Enquanto o lago permanece singularmente uniforme e constante dentro dos estratos, certas tendências são evidentes em seu curso de 10 km, do rio à represa. Elas são mostradas nas tabelas 1 e 2, figura 4. A figura 3, mostra os efeitos do vento e da temperatura na estratificação urna da estação A. Estas são justificadas quantitativamente na tabela 3. Os dados utilizados para todos os cálculos assim como dos outros três sítios exploratórios (BDE) não incluídos aqui, encontram-se na Biblioteca da Estação de Serviços do Tapacurã. Estas estações não foram continuadas desde que verificou-se que as variacões nos parâmetros das concentrações não eram significativamente diferentes, e portanto não mereciam continuação.

#### DISCUSSÃO

Em referência a figura 2 e tabela 1, demonstra-se estatisticamente a significância (95% intervalos de confiança) dos níveis de estratificação física através das estações do lago.Poderia parecer a princípio que a densidade alcançada por apenas 20°C

Tabela l – Valor Médio ( $\bar{X}$ ) Desvio Padrão (S) Desvio Padrão da Média (S $_{\overline{X}}$ ) Número de Amostras (n) e Intervalo de Confianca (IC) dos Parâ metros Indicados.

	]	2		0	7	1	39	0			Γ		ນ	o .	0			1C.		-1						
ESTACÃO J	DENTON	20 0	1	0				. 0				10a 12m	=	.1	2					İ						
	9	T	1	0		'		٥					37	0	0			ے	7	7	7	m				
	ŀ	12	0 و د	2,85	00'S 4.6	7.22	2,20	00621	9520		5	BENTON	s	0	0		2									
EST	إ	ב ב ב		2	E-	6	7		ı		80	Ш	×	910,00	0,062		ΑO									
	1000010	į,	25			.40'0					ESTACÃO. J	٤	ŭ	74.48			ESTAÇÃO	S								
	ğ	ر ا				۷٤'0					۳	EPI-META - HIPO 038m	ے	s	ε		M	IJ								
L	Ŀ	Þ	<0	762	00722.2	7,38		00,091	912'0			턒	ne ne	65 € L				Sg					Ì			
	١		1	70		61'0	9170	969				AFTA		0706												
	CHANN COM	٢ ا	1	9	7	8 70°0	6	9 271	2			id	0,					×	16,55	67,80	1 0 0,00	31,63				
	o a		1	20		01.0	01.0	878			L	L	×	06,887	0.023	-	L	Ц	-		=	F)				
	1			528	00017	06.9	75'0	90,50	0820			E	2	0	4500			<u></u>	1,2	6,51	1,77					
	METAL IMMIO	15	3				2,30	692				10 a 12 m	=	2	ε				-	è,	1.4					
0		WING O	ς Z S S	zz	Z	ε	7	6 l 29'l	ı			ı	Sĭ	0	£10'0				7	7	91					
ES TACÃO		4					24'0			Soc		BENTON	s		0.023		٩			_						
				242	00714	c7'/	97'l 79'Z	00°S 92°76	700		-		×	00057	4 70°0	000	9	ا از								
באורארובא	H	0	3	27.2	00517	7,23	150	60'9	/00	MICROESTRATIFICADOS	ESTACÃO	-	ŭ	26,60	0100	ES TRATIFICA DOS	ESTAÇÃO	S	0,25	1,38	0,42					
2	٥	S St n 1		1 1	7	- 1	6	1 1	7	7 E	EST	028		1	Z A	ATIE		S								
4			ä				11,0	281	-	ESTR		8	٦	6	9	ESTR			C, 67	3,64	1,67					
G	Č		× 56'ZZ 00077				6,33	96℃		ICRO		TA	Sī	89'5	0,002	NÃO			٥	en.						
<u>ا</u> د	L	+		75.7	95'7	98'96	1000			EPI - META - HIPO Da8m	s	79 '41	1 3 0 0 0 1			_	. 67	22	8,50							
VALURES	l.		2 71'0 98'2 75 75 75 5800 96'1 970 0771			500	900	48'7 91	70°0	VALORES		8	×	68'827	0000	VALORES		×	8,7	66,43	63,57	8				
*	0.00	MINION S				100	71'1	100	YAL	r		2	09'77	1100	VAL	Г	$ \uparrow $									
	Š	2 ,			60,0	01.0	25'7	1200			10a 12 m	_	. 01	6			J.	1,37	2,04	2,23						
		L .	- 1		0E 627	£0'4	0,23	22,58	0090				Sž		2 00'0											
-	T	- 11	G 0E.D 71,SI		ď33	277	1 1		1	BENTON						c	37	E	ㅠ.							
0	1		=	58	58	2	58	91	4		4	BE	s		2000		A									
ESTACÃO	C114541 14 9711	A P		i 1		26'Z		600	68'0			ESTAÇÃO	1	×	50'547	750'0		ESTAÇÃO	too	71	0,50,	\$5'0				
ES		ž v		070 022	00 9 ፤ 06 ሂንን	81.7	67°0 98°1	75'E 76'56	0,250 0,250		ESTA	0a8m	2	84'E1	7000		ESTA	S	0,34	2,	5					
	1	- 1	0 c	4	81'0	EZ'S	72'0	16,0	99'7	801,0			10	c	77	52					_					
	1			- 1	- 10	- 1	- 1	1	68	€8	4	68	91	6			보	Si	7E'E	1000			s	2,06	2,79	3,0,6
		<b>≵</b> I	005 V	ooe	161	50'0	800	601.	005			EPI-META-HIPO	S	16,36	5000											
	i	5		540 SeJ1	71'0	020	SE'7	200			EP						k	9,22	66,70	64,00	14,00					
		6	*	zl'ez	56797	7,33	205	9200	001,0		L		×	ZS'9S7	0,038		L	Ц		_		-	L			
	Semantin Service	PARAMETROS		TEMPERATURA	CONDUTIVIDADE	H	O2 DISSOLVIDO	CLORETO	AMÖNIA			PARAMETROS		CGNDUTIVIDADE	FOSFATO			PARAMETROS.	CÁLCIO	DUREZA	ALCALMIDADE	MATERIAL EM SUSPENSÃO				
	Δ.		1	-	.8		2					_		8				-			4	ă	L			

Tabela 2 - Concentração (ppm) e Frequência dos Parâmetros Indicados, nas Amostras Obtidas nas 4 Estações Auxiliares:  $T_1$ ,  $T_2$ ,  $R_1$  e  $R_2$ .

					_					
FLUXO	DUREZA	MATERIAL EM SUSPENSÃO	ALCALINIDADE	CÁLCIO	FOSFATO	рΗ	CLORETO	AMÔNIA	PARAVIE I RUS	האסגערד האסגערד האסגערד האסגערד האסגערד האסגערד האסגערד האסגערד האסגערד האסגערד האסגערד האסגערד האסגערד האסגערד האסגערד האסגערד האסגערד האסגערד האסגערד האסגערד האסגערד האסגערד האסגערד האסגערד האסגערד האסגערד האסגערד האסגערד האסגערד האסגערד האסגערד האסגערד האסגערד האסגערד האסגערד האסגערד האסגערד האסגערד האסגערד האסגערד האסגערד האסגערד האסגערד האסגערד האסגערד האסגערד האסגערד האסגערד האסגערד האסגערד האסגערד האסגערד האסגערד האסגערד האסגערד האסגערד האסגערד האסגערד האסגערד האסגערד האסגערד האסגערד האסגערד האסגערד האסגערד האסגערד האסגערד האסגערד האסגערד האסגערד האסגערד האסגערד האסגערד האסגערד האסגערד האסגערד האסגערד האסגערד האסגערד האסגערד האסגערד האסגערד האסגערד האסגערד האסגערד האסגערד האסגערד האסגערד האסגערד האסגערד האסגערד האסגערד האסגערד האסגערד האסגערד האסגערד האסגערד האסגערד האסגערד האסגערד האסגערד האסגערד האסגערד האסגערד האסגערד האסגערד האסגערד האסגערד האסגערד האסגערד האסגערד האסגערד האסגערד האסגערד האסגערד האסגערד האסגערד האסגערד האסגערד האסגערד האסגערד האסגערד האסגערד האסגערד האסגערד האסגערד האסגערד האסגערד האסגערד האסגערד האסגערד האסגערד האסגערד האסגערד האסגערד האסגערד האסגערד האסגערד האסגערד האסגערד האבערד האבערד האבערד האבערד האבערד האבערד האבערד האבערד האבערד האבערד האבערד האבערד האבערד ה
-	594 (1)	9,0 (1)	128,00 (1)	17,3 (1)	004 (1)	7,68 (2)	183,7 (1)	0,109 (1)	Τ <sub>1</sub>	
1	685 (1)	33,0 (4)	142,00 (1)	19,2 (1)	011 (1)	1	222,6 (1)	0,126 (1)	Т2	E S I A
06 1/s	46,2 (1)	12,75 (3)	1	55,8 (1)	0,28 (1)	ı	1	0,390(1)	R <sub>1</sub>	Ç Ō E S
0,7 1/s	56,2 (3)	ı	46,73 (3)	18,1 (3)	0,9 (3)	ı	40,9 (3)	0,430 (3)	R <sub>2</sub>	

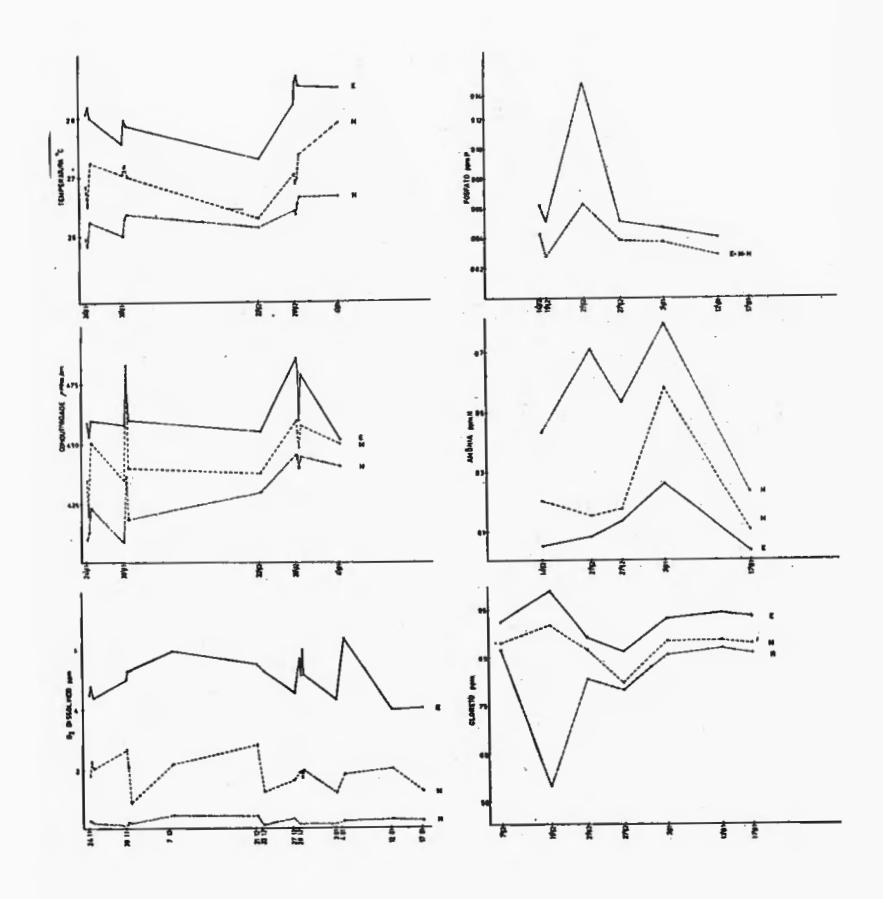
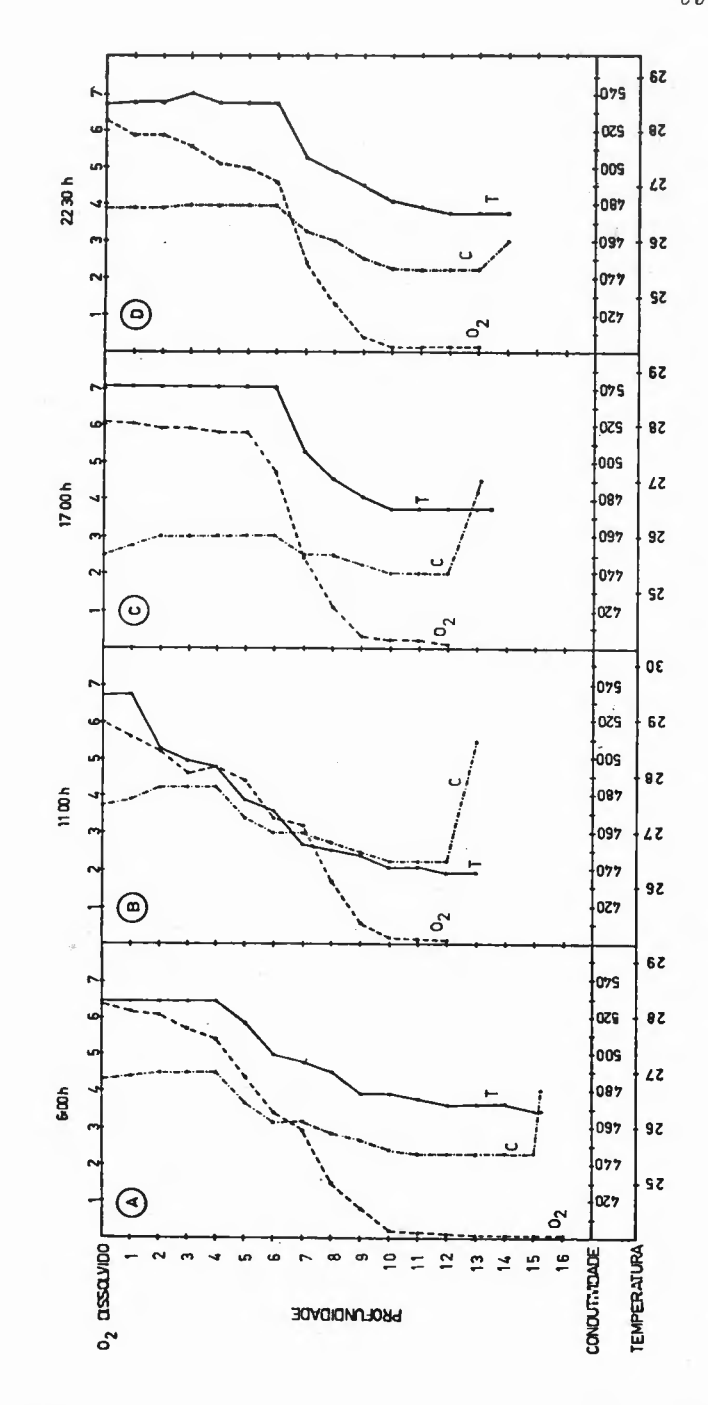


Fig. 2 - Significação da Contínua Estratificação na Unidade de Tempo. Estratificação Física como Decorrência da Diferença de 2°C, o que Provoca um Isolamento de Três Distintas Camadas: Epilimnio (E), Metalimnio (M) e Hipolimnio (H)- Quanto as Entidades 02 Dissolvido, Condutividade, Amônia e Cloreto e uma Microestratificação para Fosfato - EPI-META-HIPO (E-M-H) e Benton (B).

Tabela 3 - Distribuição e Mudança Diurna, com o Tempo, de Oxigênio Dissolvido (D.O.-gm<sup>-3</sup>) e Temperatura (T-<sup>O</sup>C), a Intervalos de lm, em uma Coluna D'Água Estratificada.

PROFUN	MPC	) [	61	h i	11	h l	17	h	22h30min:			
	DIDADE	$\dashv$	ро	Т	D. O.	T	D. O.	T	D. O.	T		
n a	0 a 1m		6,30	28,30	5,80	29,50	6,05	28,70	6.1.0	28,50		
	a 2m		6,05	2 8, 30	5,50	29,00.	. 5,95	28.70	5,90	28,50		
	3m	MITI d3	5,90	28,30	4,90	28,40	5,90	28,70	5,75	28.60		
-	a 4m		5,55	28,30	4,70	28,25	5,85	28,70	5,35	28,60		
	4 a 5m		4,90	28,10	4,60	27.90	5,8 0	28,70	5,05	28,50		
5 a	5 a 6m 6 a 7m		3,90	27,60	3,90	27,50	5.25	28,70	4.80	28,50		
6 a			3,15	27,25	3,30	27,10	3,55	28.10	3,5,0	28,00		
7 a	8m	METALIMN	2,20	27,10	2,45	26,75	1,75	27,25	1,95	27,38		
8 a	8 a 9m		1,15	26.85	1,15	26,65	0.70	26,85	0,85	27,12		
9.a	10m		0.50	26,65	0.40	26,50	0,25	26,60	0.30	26,85		
	11 lm	HIPOLIMNIO	0,17	26.55	0,17	26,40	0,20	26,50	0,20	26,65		
11 a	12m	HPO	0,12	26,45	0,12	26,35	0,15	26,50	0.20	26, 55		
0	VARIA	ÃO.	0.75	0,00	1,20	1,60	0,80	0,00	1,30	0,10		
1 3 1	PROFUEDI DO ESTE	DADE	4	m	5	m	- 6	m	6 m .			
<u> </u>	Σα		23,80		25,	50	34	,80	32,95			
	WARIAÇÃO MÁXIMA		3,75	1,25	2,75	0,85	2,85 1,25		2,65	0,88		
INWI	PROFULDIDADE DO ESTRATO			m	4	m	3	m	3 m			
METALIMNI	Ση		15	i,3 0	10,	80	6	,00	6.	6,30		
	VARIAC	AO	0,38	0,20	0,28	0,15	0,10	0,10	0,10	0,30		
HIPOL IMPI	PROTIET DO EST			3 m		m	3	m	3	m		
H PO	Σο		0	,79	0,	6 9	0	,60	0,	70		
F	EMP		6 h	a 11h	11h	a 17h	17h:a 2	2h30mir	22h30mina 6h			
-	UNDIDADE		D. O.	1 1	D. O.	T	D. O.	T	D. O.	T		
-	a 1 m	-	- 0.5 0	+1,20	+0,25	-0,80	+ 0,0 5	-0,20	+0,20	-0,20		
-	a 2m	ê	- 0,5 5	+0,70	+0,45	-0,30	-0,05	-0,20	+0,15	-0,20		
$\vdash$	a 3m	EPILIN	-1,00	+ 0,1 0	+1,00	+0,30	-0,15	-0,10	+0,15	-0,30		
-	a 4m	7	-0,85	-0.05	+1,15	+ 0,4 5	-0,50	-0,10	+ 0,20	- 0,30		
$\vdash$	a 5m	-	+0.30	-0.20	+1,20	+0,80	-0.75	-0,20	-0.15	- 0,40		
$\vdash$	5 a 6 m		0,00	-0,10	+1,35	+0,80	-0,45	-0,20	-0,90	-1,10		
$\vdash$			+0,15	-0,15	+0,25	+1,00	-0,05	-0,10	-0,35	- 0,75		
$\vdash$	7 a 8m		+ 0,25	-0,35	-0,70	+0,50	+ 0, 2 0	+0,13	+0,25	- 0,28		
$\vdash$	8 a 9m		0,00	-0,20	-0,45	+0,20	+0,15	+0,27	-0,30	- 0,2 7		
$\vdash$	9 a 10 m		-0,10	-0,15	-0,15	+0,10	+0,05	+0,25	+0,20	-0,20		
$\vdash$	)a11n	-l ≅	.0,00	<del></del>	+ 0,03	+0,10	0,00	+0,15	-0,03	- 0,1 0		
-	11a12m		0.00	-0,01	+0,03	-0,15	+0,05	+0.05	- 0.0 8	- 0,10		

Flutuação Diurna, na Estação A, de Oxigênio Dissolvido Amos-(0<sub>2</sub>-ppm). Condutividade (C-µnhos.cm<sup>-1</sup>) e Temperatura (T-<sup>o</sup>C Indicando-se as Profundidades e Horas de Amos tragem. က Fig.



diferenciais, não poderia sustentar consistentemente a estratificação, em face aos ventos diários a 20-25 km/h com duração de 10 a 12 horas. A alteração na densidade, entretanto, e consequente resistência térmica relativa para a mistura (RTRM), é 40 vezes maior entre  $29^{\circ}$  e  $30^{\circ}$  do que entre  $4^{\circ}$  e  $5^{\circ}$ C ( $WETZEL^{5}$ , 1975). Em concordância, o fato que enquanto este intervalo de temperatura não poderia suportar a estratificação nos lagos temperados, ele o pode nos lagos de climas tropicais. A energia do vento, entretanto, é suficiente para produzir uma depressão epilimnética cíclica, durante a tarde. Uma reestabilização subsequente para as profundidades anteriores, resulta depois que cessam os ventos e o aquecimento pelo sol das camadas superiores torna-se o fator predominante.

A estratificação química, enquanto evidente, não foi tão pronunciada, com apenas DO, C, P<sub>o</sub> e NH<sub>3</sub>, (fig. 2) distribuídos em camadas - estatisticamente distintas. Valores de cloreto em níveis aparentemente distintos sobrepõem-se aos intervalos de confiança. Estas tendências são menos pronunciadas na estação 1 a qual é mais susceptível à ação do vento que a estação A.

Anālises da alcalinidade, cālcio, e dureza indicam um tamponamento do lago predominantemente devido a alcalini—dade do bicarbonato, onde a estabilidade do pH  $\tilde{\mathrm{e}}$  uma consequência do equil $\tilde{\mathrm{i}}$ brio do HCO $\frac{1}{3}$  - CaCO $_3$ . Em geral esses valores temdem a permanecer constantes com a profundidade.

O hipolimnio e essencialmente um deserto biologico devido aos baixos níveis de oxigênio (0,2 ppm). Além de representar um ambiente hostil, a redução do meio permite concentrações de fosforo, amônia e sulfetos (atraves da atividade bacteriana e aumento da solubilidade).

A  $\bar{a}$ gua no entanto pode não ser suficientemente  $\bar{a}$ -cida e anaer $\bar{o}$ bica para solubilizar o hidr $\bar{o}$ xido de fosfato férrico do gel humoso (MORTIMER $^4$ , 1971), envolvendo o bentos da coluna de  $\bar{a}$ gua sobreposta. Se houvesse acumulaç $\bar{a}$ o suficiente de mat $\bar{e}$ ria organica no hipolimnio, poder $\bar{a}$ amos antecipar um grande ambiente ana-

8 - Decrescimento na Concentração Média dos Parâmetros Indicados e Recuperação Parcial da Qualidade da Água ao Longo do **ESTAÇÃO** jeto Rio-Barragem. ት գ 0,15 9.07A7207 900 0,2 M.mqq ( M ) AINOMA 200 ССОРЕТО (CI) ppm. CI-Ş 4 20 55 •LCALINIDAŒE (А) ррт. НСО3 Fig. 800 ĺmsedmy (3) ∃QADMIUDADO Ŕ

Cad. omega Univ. Fed. Rural PE. Recife, 2(2):75-94, dez. 1978

lerőbico, rico em ácidos graxos, aldeídos, sulfetos, fosfatos, amônia e valores altos de condutividade resultantes de uma exportação do lodo bentônico. Este fenômeno iminente é indicado pela micro-estratificação (tabela 1).

É evidente um padrão de estratificação da temperatura, controlada por processos físicos. Seu efeito mais pronunciado é o movimento diurno na interface epilimnio-metalimnio.O calor solar aplicado ao metro superior da coluna de agua, por causa da bajxa transparência serve para produzir pela manhã um complexo padrão de estratificação da temperatura: uma termoclina temporária e secundãria é formada a uma profundidade de 1-2 metros (fig. 3, b).0s ventos crescentes e a insolação contínua à tarde, resulta em completa mistura através do epilimnio, eliminando a termoclina secundária anteriormente estabelecida e redistribuindo o aumento de calor (fig. 3, c). A energia do vento serve para baixar a profundidade atingida pela mistura completa, aumentando a amplidão da termoclinea, até que sua relativa resistência termica a mistura, iguala-se energia de agitação gerada pelo vento. A curva profundidade - temperatura assume uma forma clássica. Tipicamente, o vento para brutamente ao por-do-sol. Sem o estímulo da energia solar ou do vento à noite, a mistura diminui mas o epilimnio permanece homotérmico pois perde calor lentamente para a admosfera (fig. 3, d). través da noite o metalimnio comprimido lentamente volta à sua posição anterior, invadindo o epilimnio (fig. 3, a), enquanto a temperatura do epilimnio continua a cair para os níveis baixos da manhã.

Devido  $\bar{a}$  produtividade primaria na agua aberta ser pequena (0,2 - 0,3 g0<sub>2</sub>m dia  $\bar{a}$ ) (os Autores, obra não publicada), presumivelmente devido  $\bar{a}$ s limitações da luz, a distribuição padrão de oxigênio,  $\bar{e}$  controlada principalmente pela dinâmica da estratifição térmica. Isto pode ser observado pela tendência da concentração de oxigênio durante o período de amostragem descrito na tabela 3, para refletir os aumentos ou quedas na temperatura. A agitação gerada pelo vento age no sentido de aumentar o oxigênio total contido no epilimnio durante o dia de 23,8 g a 34,8 g, pela in-

corporação de oxigênio atmosfêrico e pelo crescimento em espessura do epilimnio, de 4 a 6 metros, incluindo o oxigênio de metalimnio. O oxigênio do epilimnio torna-se totalmente misturado ao fim da tarde, o que se mostra pelo gradiente de 0,13g/m, o mais baixo do dia. A noite, o gradiente de oxigênio do epilimnio aumenta.embora seja homotérmico. Este gradiente pode ser explicado pela respiração microbiana. O conteúdo do metalimnio, mostra os efeitos de movimento do epilimnio, caindo dos 15,3 g de manhã cedo, a 6,3 g a noite, mas devido a sua estabilidade termica, a taxa de decréscimo de oxigênio com a profundidade permanece razoavelmente constante. A inspeção revela um decrescimo no oxigênio total contido no metalimnio, 15,3 g a 10,8 g, na manhã do dia indicado. Este decréscimo é refletido no resultado total da coluna e a partir daqui inexplicavel pelas previsões, e e também encontrada em dos similares noutros dias. Aparentemente o metabolismo dos microorganismos é muito pequeno (10x) para explicar este decréscimo. O papel subsequente na produtividade primária e secundária examinara este fenômeno mais especificamente.

Uma segunda tendência e a recuperação da qualidade da agua, evidente na progressão do curso d'agua do Rio à Barragem (Tabela 1, fig. 4) onde as concentrações de fősforo e nitrogênio no epilimnio foram reduzidas a 68 e 85% respectivamente. Na microescala dos cursos d'agua, R<sub>1</sub> e R<sub>2</sub>, este gradiente e ainda mais dramatico. A redução fósforo-nitrogênio para os níveis do lago foi aproximadamente 88 a 90%, respectivamente, enquanto o cálcio foi reduzido a 50%. Esta ação semelhante a uma esponja (absorvente) no entanto meramente altera a forma e avaliação dos nutrientes. Eles permanecem no lago para serem liberados aos lodos para reciclagem morte das plantas. Presentemente os bancos de areja dos reservatórios são ricos em depositos orgânicos evidenciados pela evolução contínua de metano e sulfeto de hidrogênio. Além disso, os grandes acúmulos da suspensão sólida total, descarregados pelo rio (35 ppm ) são reduzidos para 9 ppm depois de fluir através de extensos lençõis de baronesa. Esta tendência continua por todo trajeto até a barragem, embora de maneira menos notavel.

A prodigiosa taxa de crescimento, e a capacidade de filtração da baronesa, assim como a sua fenomenal habilidade na extração de concentrações de nutrientes soluveis ( $GOSSETT^3$ , 1971) e metais pesados, ( $BOYD^2$ , 1969) transformando-os em tecidos vegetais prontamente adquiridos provê uma atraente alternativa econômica para os métodos mais ortodoxos de tratamento secundário de despejos . Não é surpreendente por conseqüência que 90 - 95% da produtividade primária no reservatório seja fornecida pelas espécies que crescem em profusão, nos emaranhados impenetráveis ao redor do perímetro do reservatório e particularmente no fluxo d'água para o interior do reservatório.

Com as cheias anuais, o leito migrara para o represamento do reservatório, através de uma seqüência de correntezas, resuspensão, floculação e sedimentação. Este cenário produzira um ambiente anóxico que promovera a ressolubilização e disponibilidade dos fosfatos, metais pesados e perticidas, assim como produtos de putrefação (orgânicos, sulfetos e amônia). Se a agua do Recife fosse colhida nesta profundidade (> 8 m), poderia então ser esperado:

- a) Sabor não muito agradavel;
- b) Riscos de saúde aumentados (particularmente devido a necessidade de cloração, efetuada pelas estações de tratamento, produzindo carcinogenos, a partir de hidrocarbonetos de cadeias curtas;
- c) Erosão dos aquedutos de concreto pela suspensão de sõlidos e sulfetos oxidados produzindo acido sulfuriço.

#### SUGESTÕES

- a) Deposição orgânica e anoxia subsequente do hipolimnio, face a ameaça potencial à palatabilidade e saude publica se a água de abastecimento publico é oriunda de camada abaixo do metalimnio;
- b) A aplicação de cromatografia gasosa e absorção atômica para determinação de níveis de pesticidas e metais pesados no hipolimnio. É essencial a determinação de níveis padrões que infetem tendências de longa duração.
- c) Análises contínuas realizadas durante o ano, paradeterminar;
- c)i padrões gerais do comportamento do lago;
- c)ii- a extensão de holomixis e percolação ocorrida durante a estação chuvosa;
- c)iii-se, e por quanto tempo o hipolimnio se torna anoxio;
- d) Os níveis excessivos de suspensões sõlidas obser dos através da coluna de água enfatiza a necessidade de determinar o grau de depositos, e a partir deste, extrapolar a extensão de vida do reservatorio;

e) A queda precipitada na velocidade do vento (desde fevereiro) decresce a turbulência e suspensões solidas. Isto e refletido em um aumento nas leituras disco de "Secchi" (de 43 à 120 cm). A trans—parência aumentada, pode ser esperada, para aumentar a produtividade do fitoplancton, às custas da produtividade macrofitica primária.

#### ABSTRACT

The principal factor dictating water quality in lakes is oxygen availability. A preliminary basic study of water quality at Tapacurá Lake revealed the essencial existence of two agents governing the distribution of dissolved oxygen: wind, and bacterial decomposition of water hyacinth. Wind injects oxygen into the epilimnion and upper layers of the metalimnion. Therefore overcoming thermal stratification, it maintains epilimnion depth and secondary productivity. Water hyacinth decomposition on the other hand, serves to produce a totally anoxic hostile environment with accompanying chemical changes in the hypolimnion. From a biological and public health perspective these processes serve to produce two distinct water bodies. Consequently, it is recommended for Recife to drawn the public water supply above the hypolimnion.

#### BIBLIOGRAFIA

- 1. APHA. Standard methods for the examination of water and waste water. 14. ed. Washington, American Public Health, 1976.
- BOYD, Claude E. Vascular aquatic plants for mineral nutrient removal from polluted waters. *Economic Botany*, New York, 23(1): Jan./Mar. 1969.

- GOSSETT, D. R. & NORRIS Jr., W. E. Relationship between nutrient availability and content of nitrogen and phosphorus in tissues of the aquatic macrophyte, E. Crassipes solms, 1971.
- 4. MORTIMER, C. H. Chemical exchanges between sediments and water in the great lakes - speculations on probable regulatory mechanisms. Limnology and Oceanography, Woods Hole, Mass., 16:387-404, 1971.
- WETZEL, R. G. Limnology. Philadelphia, W. B. Saunders, 1975.
   743 p.